

## محاكاة تصميم مبخّر صفيحي مدرقل يعمل بموائع التثليج البديلة لـ (R-12)

أ.م.د. طالب كشاش مرتضى\* و علي داود سلمان علي\*\*

تاريخ التسلم: ٢٠٠٣/١/٧

تاريخ القبول: ٢٠٠٣/٣/١٥

الخلاصة

تم خلال البحث الحالي بناء نموذج حسابي لمحاكاة تصميم مبخّر صفيحي مدرقل اعتمد فيه على شريحة الانبواب المزعنف طولياً، حيث اعتمد النموذج الرياضي المستخدم على حساب مجموعة من المتغيرات التصميمية منها الخواص الحرارية والفيزيائية لموائع التثليج المستخدمة، قيمة معامل انتقال الحرارة، هبوط الضغط، استرداد الضغط، تأثير الزيت، تأثير شكل مقطع جريان مائع التثليج من خلال تحديد مساحة مقطع الجريان نسبة إلى محيطه، ابعاد الزعنفة الطولية بالإضافة إلى ظروف العمل المثالية والمتمثلة بتعريف النشرة القياسية لعمل المنظومة الانضغاطية للثلاجة المنزلية كما تطلب تعريف بعض الظروف الحدية كدرجة حرارة سطح المبخّر ودرجة حرارة الحيز المبرد إلى إجراء الجانب العملي من البحث. اعتمد النموذج الحسابي على طريقة التكرار العددية لتخمين طول الشريحة والمتمثلة بالمسافة بين العقدتين حيث اجري التكرار لتخمين الطول بالاعتماد على الموازنة الحرارية. لإظهار نتائج البحث تم إجراء مجموعة من المقارنات منها ما اعتمد على المقارنة بين الجانب النظري والعملي لثلاث من موائع التثليج [R-12, R-134a, R-600] ولمبخّر سعة 117 watt حيث أظهرت النتائج ان أقصى قيمة لمعدل الانحراف بطول المبخّر المصمم لم يتجاوز (14%)، كما تم إجراء مقارنة بين نتائج البرنامج الحاسبي المستخدم في محاكاة تصميم المبخّر لاثنتين من المبخّرات سعة 117, 152 watt والمصنعة من قبل الشركات المختصة حيث أظهرت نتائج المقارنة لاربعة من موائع التثليج [R-12, R-134a, R-600, R-600a] ان أقصى معدل للانحراف في طول المبخّر كان بمقدار (7.3%) بينما أظهرت النتائج ان أقصى معدل للانحراف في حساب سعة المبخّر كانت بمقدار (4.5%).

Abstract

*In this present work computational models are fabricated , these model depended on the elements of longitudinal finned tube to design the roll bound evaporator.*

*The computational models consist of empirical and mathematical correlation beside values of each design variables and variable boundaries that is obtained from experimental tests.*

*The design variables values present heat transfer coefficient of refrigerants, pressure drop, pressure gain through the multi pass channel, oil effect, shape and cross section area as a ratio to it's boundary, dimensions of longitudinal fin where the variable boundaries present the experimental values for the evaporator's surface temperature and cooling space temperature.*

*The computational models depend on numerical iterative method to estimate the length of element between two nods (step), where these estimation depend on heat balance.*

*From the comparison between simulation program result with two roll bond evaporators that was manufactured by professional company it can be seen that computational result for 117 watt evaporator capacity are accurate within (7.3%) in length and (1.5%) in refrigeration capacity, while the comparison with 152 watt evaporator capacity it can be seen that computational result are accurate within (1.4%) in length and (4.5%) in refrigeration capacity.*

**المقدمة**

يمثل المبخر ذي الصفائح المدرفلة المجمع (Roll Bond Evaporator) احد انواع المبخرات الصفيحية (Plate Evaporators) والمستخدم بشكل خاص مع التلاجة المنزلية كمبخر تذبذب يدوي (Manual Defrost Refrigerator) بالإضافة لاستخدامات عديدة منها صناعة الثلج (Ice Maker) مبردات الماء (Water Cooler)، اذ يعمل هذا النوع من المبخرات بالحمل الحر في كسب الحرارة من الحيز المبرد مع وجود أنواع عديدة منه يتميز معظمها بالبساطة مع قلة استهلاك الطاقة ( لعدم وجود مراوح أو مسخنات ) بالإضافة إلى التميز بالأداء الجيد الذي ينعكس بالإيجاب على أداء المنظومة مقارنة بالأنواع الأخرى من المبخرات.

يتكون المبخر ذي الصفائح المدرفلة المجمع (Roll Bond Evaporator) من صفيحتين متماثلتين غالباً ما تصنع من الألمنيوم النقي ( pure aluminum 1050) تعامل هاتان الصفيحتان حرارياً بتسخينهما إلى درجة حرارة معينة ومن ثم وباستخدام مكبس ذو قرص دوار من الفولاذ يتم دحرجته على كل من الصفيحتين لوضع بصمة مجرى مائع التثليج لكل منها على ان تكون البصمة ليست بالوضوح الشديد مع استخدام مادة حبرية تمنع الالتصاق (Antiadhesive Ink) لغرض منع التصاق سطحي المجري عند مطابقة الصفيحتين لتكوين المجري لمائع التثليج ومن ثم تسخين كتلا الصفيحتين إلى درجة حرارة معينة وتضغطان بشدة (100-150 bar) مع بعضهما على طول السطح عدا المجري وبذا يتم أحكام التحام الصفيحتين وحفظ مقاومة التوصيل إلى أدنى حد، ولغرض توسيع مجرى مائع التثليج وتحت نفس الضغط للسطح يتم ضغط الهواء داخل المجري ليتم تضخيم مقطع المجري المستخدم لمرور مائع التثليج، يعتبر هذا النوع من أكثر أنواع المبخرات الصفيحية استخداماً لكفاءته العالية لذا يستخدم على نطاق واسع مع التلاجة المنزلية

يصنف المبخر ذو الصفائح المدرفلة المجمع حسب شكله لأنواع عديدة أهمها :

- ◆ المبخر الصفيحي المستوي ( أفقياً أو عمودياً)
- ◆ المبخر بشكل حرف (U)
- ◆ المبخر النمطي (Classic Type Evaporator)

كما تصنف الأنواع أعلاه حسب شكل مقطع الجريان الذي قد يكون:-

- (a) مجرى غير مسطح من الجانبين (Double Side Inflated Panels (dsi))
- (b) مجرى مسطح من أحد الجانبين (One Side Flate Panels (osf))

يتميز المبخر الصفيحي المدرفل بكفاءة عالية عن بقية المبخرات لعدم وجود مقاومة حرارية بين انبوب مجرى مائع التثليج وبين الزعانف اذ تؤلف الزعانف في هذا النوع من المبخرات امتداداً لمعدن الانبوب.

اعتمد الانبوب المزعنف طولياً في بناء المبادلات الحرارية الصفيحية فقد قدم (Threlkled,1970) [1]مبادلاً حرارياً من هذا النوع مطلق عليه (Bar fin) ممثلاً المساحة الممتدة للانبوب بانها تعمل عمل الزعانف، أما (Vijay,1995) [2]فقد وصف المبادل الحراري

(Convective Panal) ممثلاً اياه بمجموعة من الانابيب الموصلة مع بعض بصفائح معدنية يتم لحامها مع الانابيب بحيث تعمل هذه الصفائح عمل الزعانف من خلال زيادة المساحة السطحية الخارجية للمبادل ومن ثم زيادة كمية الحرارة المنقولة كما قدم كلا المصدرين مجموعة من العلاقات الرياضية والفرضيات المستخدمة لاجراء الحسابات لهذا النوع من المبادلات الحرارية، أما البحث الحالي فقد تم خلاله استخدام شريحة الانبوب في بناء المبخر بعد ان يتم تحديد نوع مائع التثليج العامل ومن ثم خواصه الحرارية والفيزيائية، معاملة انتقال الحرارة لمائع التثليج ضمن منطقة العمل المحددة، هبوط الضغط خلال أنابيب المبخر، تحديد تأثير الزيت على كل من معامل انتقال الحرارة وهبوط الضغط، تحديد مسار المبخر أن كان أفقياً أم شاقولياً، بالإضافة إلى تقسيم عدد مسارات مجرى مائع التثليج للتقليل من هبوط الضغط مع اهمال تأثير الوفر (frost) على انتقال الحرارة من السطح الخارجي للمبخر وذلك باعتماد شرط منسح انتقال الكتلة عند اجراء محاكاة التصميم ليتم بذلك بناء المبخر من خلال تحديد العلاقات التجريبية والمعادلات المستخدمة في تحديد تلك المتغيرات التصميمية والتي تم اختيارها من خلال ظروف العمل الحدية المطبقة لكل معادلة.

**ظرف التصميم القياسي للدورة**

تم إخضاع تصميم المبخر ومن ثم الدورة الانضغاطية العاملة لظروف اختباريه مختلفة لغرض دراسة تأثيرها مع اعتماد الظروف القياسية المقدمة من قبل (ASHRAE,1979) [3] في ايجاد التصميم

خلال إجراء الحسابات يتم اعتماد موازنة الطاقة لموانع التثليج وذلك بتحديد فرق ثابت في كسر الجفاف شكل (3) والذي يمثل اعتماد قيمة ثابتة من الطاقة المكتسبة من قبل مانع التثليج لكل خطوة مع ملاحظة التغير في طول الخطوة الناتجة تبعاً للظروف والخواص المحيطة، فيما يلي المعادلات المستخدمة في إجراء موازنة الطاقة :

$$m_{ref}^o (H_{i-1} - H_i) = dq \quad (1)$$

$$= U_{Ao} dA_o (T_{ref.} - T_{air})$$

حيث ان فرق المحتوى الحراري خلال خطوة واحدة

$$H_{i-1} - H_i = \delta H_{step} = con.$$

$$\therefore m_{ref}^o \delta H_{step} = dq \quad (2)$$

$$= U_{Ao} dA_o (T_{ref.} - T_{air})$$

$U_{Ao}$  معامل انتقال الحرارة الإجمالي للشريحة مسند للمساحة الخارجية من سطح الشريحة وإيجاد قيمته من العلاقة التالي [1]

$$U_{Ao} = \frac{1}{\frac{A_o}{Ap_i h_{ref.}} + \frac{A_o X_p}{A_{fm} K_p} + \frac{(1 - \eta_{fm})}{h_{co} \left( \frac{A_{po}}{A_{fm}} + \eta_{fm} \right)} + \frac{1}{h_{co}}} \quad (3)$$

ولإيجاد طول الشريحة (STEP) والممثل بالمسافة بين عقدتين من خلال تحديد فرق ثابت الانتالبي

$$\delta H_{step} = con.$$

$$\delta X_{i+1} = \frac{m_{ref}^o \delta H_{step}}{U_{Ao} \left( \frac{dA_o}{\delta X} \right) (T_{ref.} - T_{air})} \quad (4)$$

يحتوي الطرف الأيمن ضمن  $U_{Ao}$  على طول الشريحة  $\delta X_i$  إذ تستخدم قيمتها لتحديد قيمة معامل انتقال الحرارة لموانع التثليج  $h_{ref.}$  وبذلك يصبح طول الشريحة مجهول لكلا طرفي المعادلة (2) مما يتطلب استخدام إحدى الطرق التكرارية لإجراء الموازنة للمعادلة، لذا استخدمت طريقة التكرار البسيط مع تحديد نسبة الانحراف لعمل التكرار، ولتحقيق المعادلة (2) ومن ثم (3) تعوض

الأمثل للمبخّر، تتمثل الظروف القياسية المعتمدة لعمل المنظومة الانضغاطية للثلجة المنزلية بالآتي:

$23.3$	$^{\circ}C$	درجة حرارة التبخير
$54.4$	$^{\circ}C$	درجة حرارة التكثيف
$32.2$	$^{\circ}C$	درجة حرارة المحيط
$32.2$	$^{\circ}C$	درجة حرارة تحميص غاز مانع التثليج عند خط السحب
$32.2$	$^{\circ}C$	درجة الحرارة التي يبرد إليها سائل مانع التثليج (تبريداً مفرطاً)

### آلية تصميم المبخّر

تم اعتماد الشريحة الموضحة شكل (1,2) المتمثلة بأنبوب مزعنف طولياً في تمثيل وحدة بناء المبخّر مع استخدام مقاطع جريان بأشكال مختلفة على أن تتم آلية العمل من خلال:

(1) اعتماد العقد (Nodes) شكل (3) لإيجاد طول الشريحة بعد تحديد أبعاد الشريحة كمدخلات عدا الطول المحدد بالمسافة بين عقدتين الذي يتم إيجاده من خلال موازنة الطاقة الموضحة بالمعادلات (1,2) مع استخدام الطرائق العددية ممثلة بطريقة التكرار (Tray And Error) لتحقيق الطول الصحيح للشريحة ضمن مدى انحراف معرف.

(2) ضمن ما تعتمد عليه موازنة الطاقة في (1) أعلاه هو معدل معامل انتقال الحرارة بالحمل الحر من سطح المبخّر (تم اعتماد سطح المبخّر بشكل مستو بدل المتعرج مع توقع نسبة خطأ 5 % [4]) الذي يدخل في تحديد المسافة بين عقدتين لذا يتم إدخال قيمة معامل انتقال الحرارة بالحمل الحر للسطح الخارجي للمبخّر من خلال اعتماد القيمة المحددة من قبل (Jordan) [5]، حيث يتم إيجاد أبعاد سطح المبخّر بعد أن يتم تحديد شكله مع الأخذ بنظر الاعتبار كون الصفيحة أفقية أم شاقولية، ومن خلال إيجاد المسافات بين العقد وتجميع الشرائح لإنتاج الشكل النهائي للمبخّر، تحدد أبعاد السطح التصميمية للمبخّر ومن خلال مقارنتها بأبعاد السطح كمدخلات يتم تحديد نسبة الخطأ مع إيجاد معدل الأبعاد (إذا كانت الأبعاد خارج قيمة الانحراف المحدد) ومن ثم إعادة إجراء الحسابات مع إيجاد مسافات عقد جديدة، ولا يتم التوقف عن إجراء الحسابات إلا بتطابق أبعاد سطح المبخّر التصميمية مع الأبعاد للمرحلة التي سبقتها وبذا يتم التأكد من صحة قيم المسافات بين العقد.

$$\eta_V = C_L \left\{ 1 - C_C \left[ (R_C)^{1/n} - 1 \right] \right\} \quad (4d)$$

$C_L$  معامل تصحيح تسرب مائع التثليج المحمص خلال كل من المكبس والصمامات مع الأخذ بنظر الاعتبار تأثير الخنق، حددت قيمة هذا العامل [7] ( $C_L = 0.8$ )

$C_C$  نسبة الخلوص الحجمي للضاغط وله قيمة [6] ( $C_C = 0.02$ )

$R_C$  نسبة الانضغاط حددت لهذا النوع من الضواغط حسب الظروف القياسية لعمل الدورة الانضغاطية المعرفة

$$R_C = \frac{P_{54^\circ C}}{P_{-23.3^\circ C}} \quad (4e)$$

$n$  الأس البولتروبي ولصعوبة التنبؤ بالقيمة الفعلية له التي تقع بين قيمة الأس الايزونتروبي ( $\gamma_{IS}$ ) والواحد لذا اقترح المصدر [8] الاقتراب من القيمة الحقيقية من خلال العلاقة الآتية

$$n = \frac{1 + \gamma_{IS}}{2} \quad (4f)$$

$\gamma_{IS}$  الأس الايزونتروبي لإجراء الانضغاط ويمثل النسبة بين الحرارة النوعية بثبوت الضغط للمائع إلى بثبوت الحجم لنفس المائع تحت ظرف الغاز.

#### التمثيل الرياضي لمعامل انتقال الحرارة لمائع التثليج

يعتمد التمثيل الرياضي لمعامل انتقال الحرارة لمائع التثليج على مجموعة من المتغيرات التصميمية منها قطر الجريان للمائع والممثل بالقطر (D) في حال كون مساحة مقطع الجريان دائرية بينما يؤخذ القطر المكافئ ( $D_c$ ) عند مقطع جريان بأشكال مختلفة [9]، وكما موضح بالعلاقة

$$D_{eq} = \frac{4 A_{sec}}{PA} \quad (5)$$

ولتمثيل معامل انتقال الحرارة لمائع التثليج حدد [10] ثلاث مناطق رئيسية لكل منها (المناطق) العلاقات التجريبية الخاصة لحساب معامل انتقال الحرارة (1) معامل انتقال الحرارة لمائع التثليج في المنطقة ثنائية الطور

القيم للمتغيرات التصميمية التي يحدد البعض منها قبل البدء بمحاكاة البرنامج الحاسبي المعد لذلك بينما يتم إيجاد قيم القسم الآخر من خلال التمثيل الرياضي البرمجي المعد ضمنا مع البرنامج الرئيس.

#### التمثيل الرياضي للمتغيرات التصميمية

لبناء برنامج المحاكاة لدراسة تصميم المبخّر المستخدم، إذ يتطلب هكذا برنامج القيم العددية للمتغيرات التصميمية التي لا يمكن ان نتنبأ بقيم البعض منها إلا من خلال إجراء التجارب أو بتمثيلها رياضياً (في حالة تهيؤ التمثيل الرياضي للمتغير) للتمكن من إيجاد قيمة المتغير التصميمي من خلال تحديد ظروف العمل، وفيما يلي التمثيل الرياضي لبعض المتغيرات التصميمية.

#### التمثيل الرياضي لمعدل تدفق مائع التثليج

لحساب معدل تدفق مائع التثليج في ظروف عمل مختلفة وذلك من خلال تحديد ظروف التشغيل [1]

$$m_{ref}^o = \frac{PD \cdot \eta_V \cdot RPM}{v_3 \cdot 60} \quad (4a)$$

$PD$  الإزاحة الحجمية للضاغط (piston displacement) ومقدارها ( $PD = 5.1 \text{ cm}^3$ ) للضاغط المستخدم [6]

$v_3$  الحجم النوعي لمائع التثليج عند درجة حرارة الغاز داخل الاسطوانة ولصعوبة إيجاد درجة الحرارة تلك لذا يؤخذ الحجم النوعي عند درجة حرارة خط السحب والتي عرفت حسب النشرة القياسية لـ (ASHRAE) ( $T_{section} = 32.3$ ) [3]

$$RPM = ns - s * ns \quad (4b)$$

$s$  نسبة الانزلاق (slip ratio) ومقدارها  $s = 0.033$  (لكل الضواغط من النوع Magnetic filed) [6] ولتحديد قيمة السرعة التزامنية  $ns$

$$ns = \frac{f * 60}{P} \quad (4c)$$

$P$  عدد أقطاب المحرك الكهربائي للضاغط إذ حدد ( $P = 2$ ) للضاغط المستخدم [6]  $f$  التردد الكهربائي للمصدر المستخدم ( $f = 50 \text{ HZ}$ ) ولحساب الكفاءة الحجمية الخلوصلية ( $\eta_v$ ) من العلاقة أدناه [7]

$$\psi_{cb} = 1.81 N^{0.8}$$

$$\text{at } \psi_{bs} > \psi_{cb} \Rightarrow \psi = \psi_{bs}$$

$$\psi_{cb} > \psi_{bs} \Rightarrow \psi = \psi_{cb}$$

$$\text{FOR } N \leq 0.1$$

$$\psi_{bs} = F Bo^{0.5} \exp(2.47 N^{-0.15})$$

$$\psi_{cb} = 1.81 N^{0.8} \quad (17)$$

$$\text{at } \psi_{bs} > \psi_{cb} \Rightarrow \psi = \psi_{bs}$$

$$\psi_{cb} > \psi_{bs} \Rightarrow \psi = \psi_{cb}$$

When

$$Bo \geq 11 * 10^{-4} \Rightarrow F = 14.7$$

$$Bo < 11 * 10^{-4} \Rightarrow F = 15.43$$

عند المجرى الشاقولي ولجميع قيم  $Fr_L$  وللمجرى أفقي وعند رقم فراود  $Fr_L \geq 0.04$  يتم حساب  $N$  من العلاقة

$$N = CO \quad (18)$$

أما قيمة  $N$  للمجرى الأفقي ولقيم رقم فراود  $Fr_L \leq 0.04$

$$N = 0.38 Fr_L^{-0.3} CO \quad (19)$$

(٢) معامل انتقال الحرارة لمائع التليج في المنطقة الانتقالية

يتم حساب معامل انتقال الحرارة في المنطقة الانتقالية (Transition Region) باعتماد معادلات التقريب الخطي [10] بين كل من قيمة معامل انتقال الحرارة عند نهاية المنطقة الثنائية الطور وبداية منطقة التحميص، وكما موضح

$$h_{im} = h_{TP} \cdot \sin^2 \theta + h_{sup} \cdot \cos^2 \theta \quad (20)$$

$$\theta = \frac{\pi}{2} (1 - w) \quad (21)$$

$$w = \frac{X - X_o}{1 - X_o} \quad (22)$$

(٣) معامل انتقال الحرارة لمائع التليج في منطقة التحميص

استخدمت العلاقة التجريبية المقدمة من قبل (Hiller) مصدر [10] لحساب معامل انتقال

لتمثيل معامل انتقال الحرارة في منطقة

التبخير تم اعتماد العلاقة التجريبية المقدمة من قبل (Shah) [11,12]، التي تطبق تحت شرط السطح المبتل لمحيط الأنبوب (The tube surface fully wetted) إذ يتحقق هذا الشرط للجريان الأفقي من خلال تحديد قيمة رقم فراود لسائل مائع التليج  $Fr_L \geq 0.04$  مع استثناء العمل بهذا الشرط للجريان الشاقولي شرط ان يكون الجريان ضمن مدى كسر الجفاف المحدد من قبل نفس المصدر، وفيما يلي وصف للعلاقة التجريبية

$$\psi = h_{TP} / h_L \quad (6)$$

$$CO = \left( \frac{1}{X} - 1 \right)^{0.8} (\rho_g / \rho_l)^{0.5} \quad (7)$$

$$Bo = q / (G * H_{fg}) \quad (8)$$

$$Fr_L = \frac{G^2}{\rho_l^2 g D} \quad (9)$$

$$h_L = 0.023 \left[ \frac{G(1-X)D}{\mu_l} \right]^{0.8} Pr_L^{0.4} \frac{K_L}{D} \quad (10)$$

$$Pr_L = \frac{\mu_l cp_L}{K_L} \quad (11)$$

$$G = \frac{m_{ref}}{A_{sec}} \quad (12)$$

يتم اختيار العلاقات لحساب معامل انتقال الحرارة بالاعتماد على تحديد بعض القيم وكما موضح

FOR  $N > 1$

$$\psi_{nb} = 230 Bo^{0.5} \text{ at } Bo > 0.3 * 10^{-4} \quad (13)$$

$$\psi_{nb} = 1 + 46 Bo^{0.5} \text{ at } Bo < 0.3 * 10^{-4} \quad (14)$$

$$\psi_{cb} = 1.81 N^{0.8} \quad (15)$$

يتم تمثيل  $\psi$  بمساواتها بالقيمة الأكبر من نوعي الغليان كما موضح

$$\text{at } \psi_{nb} > \psi_{cb} \Rightarrow \psi = \psi_{nb}$$

$$\psi_{cb} > \psi_{nb} \Rightarrow \psi = \psi_{cb}$$

FOR  $0.1 < N \leq 1.0$

$$\psi_{bs} = F Bo^{0.5} \exp(2.74 N^{-0.1}) \quad (16)$$

$$\delta p = \frac{2f_{TP} G^2 L}{D} (\rho_l + x \rho_{fg}) + \delta x G^2 \rho_{fg} \quad (27)$$

ولحساب معامل الاحتكاك للمنطقة الثابتة الطور باستخدام علاقة (Blasius) [13]

$$f_{TP} = 0.079 \left[ GD/\bar{\mu} \right]^{-0.25} \quad (28)$$

$\bar{\mu}$  معدل قيمة اللزوجة الدينامية والتي يمكن حسابها من علاقة (Dukler) [13]

$$\bar{\mu} = \rho_m \left[ x \rho_g \mu_g + (1-x) \rho_l \mu_l \right] \quad (29)$$

ولحساب معدل الكثافة  $\rho_m$  للجريان الثنائي الطور من العلاقة الآتية [14]

$$\frac{1}{\rho_m} = \frac{x}{\rho_g} + \frac{1-x}{\rho_l} \quad (30)$$

II. هبوط ضغط مائع التثليج في منطقة التجميد

وضح المصدر [10] ان هبوط الضغط لمائع التثليج في منطقة التجميد ناتج عن تأثير الاحتكاك الذي يمكن حسابه من علاقة Darcy-Weibach

$$-\left( \frac{dp_{ref}}{dl} \right)_{fr. sup.} = f \frac{1}{D} \frac{G_{ref}}{2\rho} \quad (31)$$

ولحساب قيم معامل الاحتكاك قدم المصدر علاقتين تستخدمان حسب مدى رقم رينولدز حيث ان

$$f = 0.3614 Re_{ref}^{-0.25} \quad \text{at } Re < 10^5 \quad (32)$$

$$f = 0.0032 + 0.221 Re_{ref}^{-0.237} \quad \text{at } 10^5 < Re < 3 * 10^6 \quad (33)$$

٢) خفض انحدار هبوط الضغط مع استرداد

جزئي خلال تفرع مسارات مائع التثليج

لتجنب الهبوط الحاد في الضغط داخل أنابيب المبخر والناتج عن كل من الاحتكاك والتعجيل لمائع التثليج والذي يؤدي الى انخفاض كفاءة الدورة يتم اللجوء الى زيادة عدد المسارات شكل (4) لمجرى مائع التثليج مما يقلل من انحدار هبوط الضغط مع استرداد بعض الضغط (Static Regain) ضمن مناطق التفرع، حيث يتم حساب

الحرارة لمائع التثليج في منطقة التجميد ولجريان لاطبقي كما يأتي

$$h_{sup.} =$$

$$0.0108 G_{ref}^{1/3} c p_{ref}^{1/3} \mu_{ref}^{-2/3} \left( \frac{G_{ref} D_i}{\mu_{ref}} \right)^{-0.1375} \quad (23)$$

حيث حدد رقم رينولدز  $Re_{ref.} > 6000$

التمثيل الرياضي لتغير ضغط مائع التثليج

تتوزع قيم الضغط لمائع التثليج بين هبوط الضغط واسترداده تبعاً للحالة وكما يلي

١) هبوط ضغط مائع التثليج داخل أنابيب المبخر  
خلال جريان مائع التثليج داخل أنابيب المبخر فان هبوطاً في الضغط يصاحب جريانه حيث يحدد هبوط الضغط من خلال التمثيل الرياضي للعلاقة (التجريبية) المستخدمة اعتماداً على منطقة الجريان التي تصنف إلى

I. هبوط الضغط في المنطقة ثنائية الطور

- تم اعتماد الجريان المتجانس [10] لحساب هبوط الضغط خلال أنابيب المبخر حيث عرف كل من (Collier) [13] و (Wallis) [14] العلاقات الأساسية المستخدمة في حساب هبوط الضغط لهذا النوع من الجريان وبأجراء التعويضات والاشتقاقات الرياضية وتطبيق مجموعة من الفرضيات تم الوصول الى المعادلات النهائية لمسببات هبوط الضغط والتمثلة بكل من الاحتكاك، التعجيل، الجذب الارضي وكما موضح

$$-\left( \frac{dp}{dl} \right)_f = \frac{2f_{TP} G^2}{D} (\rho_l + x \rho_{fg}) \quad (24)$$

$$-\left( \frac{dp}{dl} \right)_a = G^2 \rho_{fg} \frac{dx}{dl} \quad (25)$$

$$-\left( \frac{dp}{dl} \right)_g = g \cos \theta \frac{1}{\rho_l + x \rho_{fg}} \quad (26)$$

ومن خلال تطبيق المعادلات الثلاث كانت نتائج المعادلة ٢٦ غير ذات أهمية على الناتج النهائي ضمن حدود عمل المنظومة، لذا تم إهمالها ليكون التمثيل الرياضي لمعادلة هبوط الضغط النهائية

$$EF = 20.4\omega_o - 332\omega_o^2 - 0.06K' + 1.03 \quad (36)$$

كذلك فإن وجود الزيت في مائع التثليج يؤدي الى انحدار اكبر في هبوط الضغط بسبب تأثير الزيت على لزوجة مائع التثليج، ولحساب هذا التأثير من خلال العلاقة الآتية [16]

$$PF = 5.43\omega_o + 1.01 \quad (37)$$

**التمثيل الرياضي لانتقال الحرارة من السطح الخارجي للمبخر**

بتمثيل شريحة المبخر الممثل بأنبوب مزعنف طولياً ولغرض إيجاد الكفاءة والفعالية لهذه الزعنفه استخدمت العلاقات المقدمة من قبل [2] حيث تدخل قيم كل منهما في حساب الأبعاد النهائية للمبخر.

لحساب كفاءة الزعنفه الطولية من العلاقة

$$\eta_{fm} = \frac{\tanh BHI}{BHI} = \frac{e^{BHI} - e^{-BHI}}{e^{BHI} + e^{-BHI}} * \frac{1}{BHI} \quad (38)$$

$$B = \sqrt{h_{co} P / KA} \cong \sqrt{h_{co} / Ky} \quad (38a)$$

أما لحساب الفعالية Effectiveness لهذا النوع من الزعانف

$$\epsilon_{fm} = \sqrt{\frac{K}{h_{co} y}} * \tanh BHI = \sqrt{\frac{K}{h_{co} y}} * \frac{e^{BHI} - e^{-BHI}}{e^{BHI} + e^{-BHI}} \quad (39)$$

حيث تمثل الفعالية النسبة بين الحرارة المطروحة من الزعنفه الى الحرارة المطروحة من الانبوب بدون وجود الزعنفه، فقد حدد المصدر [2] اقل قيمة اقتصادية لفعالية الزعنفه ( $\epsilon_{fm} = 2$ ).

لإيجاد طول شريحة المبخر والممثلة بالمسافة بين عقدتين، نحتاج لإدخال قيمة معامل انتقال الحرارة بالحمل الحر من السطح الخارجي للصفحة  $h_{co}$  حيث يتم ادخال هذه القيمة بالاعتماد على المصدر [5] والذي حدد قيمة معامل انتقال الحرارة بالحمل الحر من سطح المبخر الصفيحي العامل ضمن اجهزة التبريد المنزلية بـ (8.5155 to

قيمة الضغط المسنرد خلال منطقة التوسع ولجريان ثنائي الطور من العلاقة الآتية [14].

$$P_3 - P_2 = \frac{G^2}{2\rho_1} \left( \frac{A_1}{A_2} - 1 \right) \left[ 1 + x \left( \frac{\rho_1}{\rho_g} - 1 \right) \right] * \left( \frac{A_1}{A_2} + 1 \right) \quad (34)$$

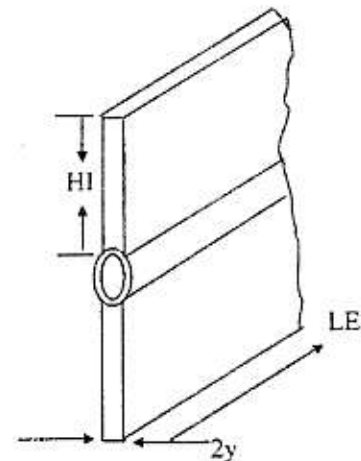
يكون تفرع مجرى المبخر متسلسلاً وذلك بإضافة مسار واحد خلال كل تفرع، وبذلك يمكن كتابة المساحة

$$A_1 = A_{sec} * cn, \quad A_2 = A_{sec} * (cn - 1)$$

وبالتعويض في المعادلة 34 ينتج

$$P_2 - P_3 = -\frac{G^2}{2\rho_1} \left[ 1 + x \left( \frac{\rho_1}{\rho_g} - 1 \right) \right] * \left[ \left( \frac{cn}{cn-1} \right)^2 - 1 \right] \quad (35)$$

حيث ان  $cn$  عدد مسارات المجرى  $A_{sec}$  مساحة مقطع الجريان، حيث تكون قيمة هذه المساحة ثابتة على طول المبخر ولتقليل هبوط الضغط الحاد مع استرداد جزئي للضغط في الحنيات (Bends) تطبق آلية التفرع في تلك المناطق شكل (5) وبذا يمكن التقليل من أهمية الهبوط في الضغط في تلك الحنيات



#### التمثيل الرياضي لتأثير الزيت

ان معظم العلاقات المستخدمة في حساب معامل انتقال الحرارة وهبوط الضغط في حالة جريان مائع التثليج النقي (الخالي من الزيت) ولكن في حقيقة الأمر توجد نسبة من الزيت (0.2- 0.5%) [15] ولحساب تأثيرها على معامل انتقال الحرارة من خلال العلاقة الآتية [16]

### النتائج والمناقشة

تم إجراء تحليل لنتائج النمذجة الحسابية وتحديد دقة عمل البرنامج بمقارنة النتائج العملية مع النتائج الحسابية ضمن عمل مبخرات صفيحية مترفلة بسعات متباينة مع موانع تليج مختلفة وكانت نتائج المقارنة كما يلي:

### نتائج الأداء النظري للموانع البديلة

قبل الدخول في تحليل نتائج النمذجة الحسابية والعملية يمكن اعتماد بعض الاستنتاجات العامة من خلال تحليل نتائج الجدول (1) ، إذ تظهر تلك النتائج عمل المبخر بضغط موجبة لكل من الموانع R-12 ، R-134a ، أما الموانع الهيدروكربونية R-600 ، R-600a فإنها تعمل بضغط سالبية (Vacuum Pressure) وبذلك يمكن ملاحظة انخفاض كثافة البخار كلما انخفض ضغط التبخر وما لذلك من تأثير على السعة الحجمية، فنجد أن السعة الحجمية للمانع R-12 هي الأكبر بالمقارنة مع الموانع الأخرى رغم انخفاض التأثير التبريدي مما يتيح استخدام ضاغط ذي حجرة مكبس صغيرة نسبياً بالمقارنة مع الموانع الأخرى، فبملاحظة الشكل (6) وباستخدام السعة الحجمية للمانع R-12 كمرجع نجد عند درجة حرارة التبخير القياسية  $23.3^{\circ}C$  - أن السعة الحجمية للمانع R-134a تكون أقل بمقدار 3.9% مما يتطلب زيادة في سعة حجرة الضاغط بنفس النسبة ، أما المانع R-600a فإن سعته الحجمية أقل بمقدار 47.6% وبذلك تتطلب المنظومة التي يستبدل فيها المانع R-12 بالمانع R-600a أن يوفر لها ضاغطاً ذا إزاحة حجمية أكبر بنسبة 47.6% ، وبذلك يمكن الاعتماد على تحديد النسب في إيجاد البدائل المناسبة للضاغط مع تحديد سعة المنظومة بشكل دقيق .

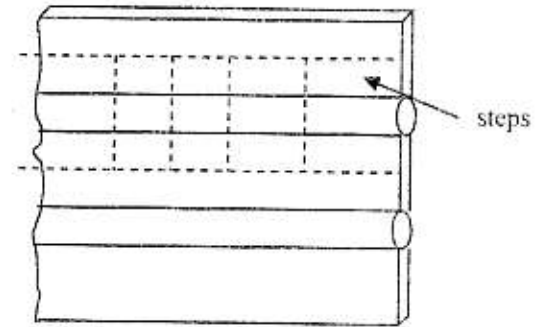
### نتائج النمذجة الحسابية للمبخر

باستخدام برنامج المحاكاة للمبخر أجريت سلسلة من التجارب النظرية لمعرفة العوامل المؤثرة على بناء مبخر ذي مجرى بمسار مفرد شكل (7) وأخر بمسارات متعددة شكل (8)، (9) ولأنواع متعددة من موانع التليج ، فقد اعتمدت آلية تعدد المسارات خلال برنامج المحاكاة وذلك بتفرع مسار المبخر عندما يكون ميل خط هبوط الضغط بشكل كبير بحيث يؤدي تعدد المسارات للمجرى إلى تقليل ميل هبوط الضغط وبالتالي الحفاظ على كفاءة الدورة من خلال عمل المبخر بضغط معتدل ودرجة حرارة مستقرة نسبياً.

(  $14.1925 W/m^2 \cdot ^{\circ}C$  ) والتي تحسب كقيمة واحدة على طول الصفيحة ومن ثم يتم تجميع الشرائح المستخدمة في تصميم المبخر بهدف إيجاد الأبعاد الخارجية للمبخر، حيث تمت معالجة السطح شبه المتعرج والمؤلف من مجموعة شرائح ( كما موضح في الشكل ادناه ) على أنه سطح منبسط حيث تؤدي هذه الفرضية إلى نسبة خطأ (4-5%) [4]

عند إجراء الحسابات تؤخذ بنظر الاعتبار مجموعة الفرضيات المقدمة من قبل المصدر [1] لتسهيل الحسابات وكما يلي :

- انتقال الحرارة ثابت مع الزمن
- ثبوت درجة الحرارة لقاعدة الزعنف
- ثبوت معامل التوصيل الحراري لمعدن الزعنف
- انتقال الحرارة بالتوصيل يتم خلال بعد واحد
- إهمال انتقال الحرارة من الحافة الخارجية للزعنف
- تجاهس درجة الحرارة على سطح الزعنف
- معامل انتقال الحرارة ثابت للسطح الخارجي
- إهمال تأثير الوفر (Frost) على معامل انتقال الحرارة [17]



قدم المصدر [17] مجموعة من البحوث في تكوين الوفر على سطوح مستوية بدرجات حرارة منخفضة موضحاً آلية تكون الوفر وتأثير ذلك على معامل انتقال الحرارة وتغير قيمتها خلال الانتقال المستمر للكتلة مما يعني إمكانية اعتماد قيمة واحدة لانتقال الحرارة بالحمل الحر في حال منع انتقال الكتلة إلى سطح المبخر وهي حالة بداية التشغيل للمبخر الجديد.



التحميص إذ يهمل عامل التعجيل في هبوط الضغط [10] دون تأثير مع تأثير ضئيل للاحتكاك بسبب اللزوجة الدينامية المنخفضة.

توضح الأشكال (10a....17a)،  
(10b....17b) النتائج الحسابية لمبخرين سعة (117,152watt) ولأربعة موانع تثليج فقد تم من خلال هذه الأشكال دراسة تأثير النسب الوزنية للزيت (0-5%) على أداء المبخّر فنجد من خلال الأشكال (10a....17a) التأثير الإيجابي لنسب الزيت من 0% ولغاية 3% التي يبلغ عندها معامل انتقال الحرارة أكبر قيمة له ليظهر بعدها الانخفاض في معامل انتقال الحرارة عن أكبر قيمة له عند إضافة نسب وزنية أكبر ولكن الهبوط في كل الأحوال لا يتدنى إلى قيمة معامل انتقال الحرارة عند الجريان بموانع تثليج نقي، من جهة أخرى نجد التأثير السلبي للزيت من خلال علاقته الطردية مع منحني ميل هبوط الضغط خلال مسارات المبخّر حيث تكون الزيادة باطراد دائم خلال جميع نسب الزيت التي يصل فيها ميل منحني هبوط الضغط إلى أقصى قيمة له عند نسبة زيت 5% ليلعب بذلك هبوط الضغط خلال مسار المبخّر 117 watt مقارنة مع مائع التثليج النقي بمقدار 0.05bar على أن تبلغ هذه القيمة 0.08bar للمسار الواحد من المبخّر 152watt إذ يعزى سبب زيادة هبوط الضغط إلى طبيعة الجريان التي تتمثل بجريان بخار مائع التثليج في وسط المجرى (Core) تاركاً بذلك سائل مائع التثليج الذائب في الزيت يجري بالاحتكاك مع سطح المجرى ويتأثير اللزوجة الدينامية العالية التي يمتاز بها الزيت فإن ذلك سوف يؤدي إلى زيادة الاحتكاك كما يمكن ملاحظة تأثير الزيت بشكل أكبر خلال مجرى المبخّر 152watt الذي يتمتع بمحيط جريان أكبر من المبخّر 117 watt مما يزيد من المساحة السطحية للاحتكاك وبالتالي زيادة هبوط الضغط خلال المسارات لكن وفي ذات الوقت يمكن ملاحظة تأثير المحيط الأكبر على معامل انتقال الحرارة والذي يظهر بقيم أقل عن مثيلاتها للمبخّر 117watt.

نستنتج من الأشكال (10b....17b) أن طول المبخّر عموماً يقل عما هو عليه عند الجريان بموانع تثليج نقي لكن من خلال معرفة التأثير السلبي لهبوط الضغط على سعة المبخّر إذ نجد تزامن انخفاض طول المبخّر من خلال انخفاض السعة الحرارية له لاحظ الشكل (18) وبذلك يمكن أن نستنتج أن تأثير هبوط الضغط يؤثر على السعة والطول للمبخّر بصورة عكسية ومؤثرة في حين يختفي تأثير معامل انتقال الحرارة بالزيادة الحاصلة

أظهرت النتائج شكل (7) تميز المائع R-600 بمعامل انتقال حرارة كبير خلال الجريان في المنطقة الثنائية الطور يليه كل من الموائع R-134a، 600a، ثم R-12 إذ يتمثل هذا المائع بأقل قيمة لمعامل انتقال الحرارة مقارنة بالموائع المذكورة الأخرى، من ناحية أخرى تجدر الإشارة إلى أن هبوط الضغط للمائع R-600 خلال منطقة الجريان الثنائي الطور تكون كبيرة جداً نسبة إلى الضغط العامل مما يهدد بانخفاض أداء المبخّر والدورة الانضغاطية، كذلك يمكن ملاحظة الانحدار الكبير في درجة حرارة مائع التثليج عبر المبخّر الذي يصل إلى أكثر من  $5.5^{\circ}C$  مما يؤثر سلباً على عمل المبخّر بدرجة حرارة ثابتة ومستقرة، في حين يظهر كل من هبوط الضغط وانحدار درجة الحرارة للجريان ضمن مسار واحد لكل من الموائع الأخرى ضغط وانحدار درجة حرارة أقل.

أظهرت الدراسة شكل (8) سلوك معامل انتقال الحرارة عند استخدام مجرى المبخّر بمسارات متعددة إذ نجد تقارباً في قيم معامل انتقال الحرارة ضمن نفس رقم المسار وتقلص فجوة الفارق لتقسيم معامل انتقال الحرارة عند جريانها بمسار واحد، كما يوضح الشكل (9) تقارب ميل خط هبوط الضغط للموائع المستخدمة بغض النظر عن مستوى ضغط التشبع العامل والمناظر لدرجة حرارة التبخّر ضمن مجرى ذي مسار متفرع، وبذلك يمكن استنتاج التأثيرات المتعاكسة لكل من قطر الجريان وتفرع المسارات على كل من هبوط الضغط ومعامل انتقال الحرارة، إذ نجد أن الفارق في انحدار الضغط قد انخفض مع ملاحظة وجود مناطق استرداد الضغط السكوني عند مناطق التفرع التي تظهر بشكل واضح من خلال درجة حرارة التبخّر إذ تساعد هذه المنطقة (منطقة التفرع) بشكل جزئي في خفض ميل هبوط الضغط على طول المبخّر وما لذلك من تأثير إيجابي في رفع قيمة الكثافة للبخار المحمص الداخل إلى الضاغط مما يزيد في معدل التدفق الكتلي لنفس الضاغط المستخدم ولنفس درجة حرارة المبخّر.

تجدر الإشارة إلى الفرق الواضح في ميل هبوط الضغط لكل من المنطقة ثنائية الطور ومنطقة التحميص للمجرى المفرد شكل (7) وحنى في المجرى ذي المسارات المتعددة والموضحة في الأشكال اللاحقة إذ يؤدي احتكاك سائل مائع التثليج عند جريانه بشكل حلقي على سطح مجرى المبخّر الداخلي إلى هبوط الضغط نتيجة اللزوجة الدينامية العالية له بالإضافة إلى هبوط الضغط بسبب التعجيل من خلال التحول الطوري لسائل مائع التثليج والتي يفتدها بخار مائع التثليج الجساري ضمن منطقة

المبخّر، كما تم عزل المبخّر لمنع انتقال الحرارة أو الكتلة للحفاظ على الاستقرار في الموازنة الحرارية للحمل مع تقليل فرص زيادة المحتوى الرطوبي داخل الحيز الذي قد يعرقل قياس درجة الحرارة على سطح المبخّر بسبب نمو الوافر بالإضافة لعمله كعازل حراري، فقد تم توزيع مجموعة من المزدوجات الحرارية على مناطق مختلفة من سطح المبخّر وعدد آخر في الحيز المبرد لمعرفة توزيع درجات الحرارة ضمن مراحل الاختبار المختلفة أظهرت خلالها النتائج ان الفرق بين درجة حرارة السطح ومعدل درجة حرارة الحيز المبرد تقع ضمن المدى ( $3.39 - 6.78^{\circ}C$ )، كما تم توزيع مجموعة من مقاييس الضغط في مناطق منتخبة من المنظومة بهدف تحديد ظروف التشغيل بالإضافة الى تحديد هبوط الضغط في الأجزاء الأساسية .

### مقارنة بين النتائج الحسابية والعملية

أظهرت القراءات للتجارب العملية ضالة الفرق لقيم هبوط الضغط المسجلة لمجموعة من موانع التليج R-12، R-134a، R-600 بالمقارنة مع النتائج الحسابية لبرنامج المحاكاة، إذ تم الأخذ بهذه القيم لأهميتها في تحديد الأبعاد النهائية للمبخّر، ومن خلال مقارنة طول المبخّر المقاس (9.6m.) التي تمثل الطول الكلي للمسارات الفردية والمنفرعة ومقارنتها مع النتائج الحسابية بعد تغذية برنامج المحاكاة بظروف عمل كل اختبار، أظهرت النتائج ان اكسير قيمة لانحراف الأطوال الحسابية (التصميمية) عن الطول المقاس كانت بمقدار (28.7%) مع ملاحظة أن نتائج 15 تجربة من اصل 22 كانت بمعدل انحراف اقل من (20%)، إذ نجد ان نسبة الخطأ هذه منطقية إذا ما تم الأخذ بنظر الاعتبار ابتعاد نتائج بعض الاختبارات عن الظروف المثلى لعمل المنظومة، إهمال تأثير الزيت، استخدام العلاقات التجريبية في التمثيل الرياضي العام للمبخّر بمدى انحراف قد يصل الى (20%).

وبهدف التأكد من دقة عمل البرنامج بالإضافة إلى التأكد من شموليته، تم إجراء سلسلة من التجارب النظرية باستخدام برنامج المحاكاة لنوعين من المبخّرات أحدهما بسعة 117 watt عند عمله بالظروف القياسية مع المائع R-12 حيث استخدم هذا المبخّر في التجارب العملية للبحث، كما تمت الاستعانة بمبخّر آخر بسعة 152 watt ضمن عمله بالظروف القياسية مع المائع R-12، تمت تغذية البرنامج الحاسوبي بمواصفات والقياسات الخارجية لكلا المبخّرين بالإضافة إلى البيانات للضواغط العاملة مع هذه السعة والتي حددت

الذي يؤثر فقط على طول المبخّر من خلال انتقال الحرارة الإجمالي إذ نجد ان زيادة قيمته لا تؤثر إلا بشكل ضئيل جداً بحكم موقعه من المعادلة العامة المستخدمة لحساب معامل انتقال الحرارة الإجمالي لكن يمكن ملاحظة تأثيره السلبي على طول المبخّر في حالة انخفاضه بشكل كبير .

يوضح الشكلان (19) و (20) مقارنة كل من قيم معامل انتقال الحرارة، ميل هبوط الضغط، انحدار درجة الحرارة مع طول المبخّر لكل من الشكل التصميمي لمساحة مقطع الجريان الشبه بيضوية مرة وأخرى عند العمل بنفس المساحة للمقطع ولكن بشكل مساحة مقطع دائري حيث تم حساب مساحة مقطع الجريان وتطبيقها على مقطع دائري فوجد ان المحيط سوف يقل بنسبة 8.7% ومن خلال إجراء الدراسة لكلا المقطعين أظهرت النتائج أن معامل انتقال الحرارة للمقطع شبه البيضوي يكون أكبر بكثير منه للمقطع الدائري والسبب في ذلك معروف باعتماد المعادلات المستخدمة في حساب معامل انتقال الحرارة على قيمة الفيض الحراري ( $q$ ) التي تكون أكبر خلال مساحة المقطع البيضوي منها للدائري بسبب كبر محيط المقطع البيضوي الذي يؤمن مساحة سطحية أكبر لنقل الحرارة، في ذات الوقت يمكن استدراك ان المجرى ذا المقطع الدائري يكون فيه ميل هبوط الضغط وانحدار درجة الحرارة بشكل غير كبير مما يؤمن استقرار في درجة حرارة المبخّر، كما نجد ان عدد الفترعات للمجرى لم تتجاوز المسارين في حين ظهر ميل هبوط الضغط للمبخّر ذي مساحة المقطع البيضوي بقيمة أكبر مع انحدار أكبر في درجات الحرارة الأمر الذي ساعد في تفسير وجود ثلاثة مسارات خلال مجرى المبخّر، وبالرغم من ذلك كانت النتائج تشير إلى كفاءة المبخّر ذي مساحة المقطع البيضوي فقد أظهرت الدراسة ان طول هذا المبخّر يقل بمقدار 13% عن المبخّر ذي المقطع الدائري مقابل انخفاض سعة التجميد له بمقدار 0.9% .

### النتائج العملية

أجريت (51) تجربة عملية على الجهاز الاختباري وباستخدام مائع التليج R-12 وبدائله R-134a، R-600، فقد أجريت التجارب ضمن ظرف مختبري ثابت ( $32^{\circ}C$  درجة حرارة حيز الاختبار) إذ سجلت القراءات بعد وصول الجهاز إلى حالة الاستقرار لكل اختبار وذلك باعتماد التشغيل المستمر (Continuous Running Testing) لان الهدف من البحث هو تصميم المبخّر وليس دراسة عمل

جيدا بالمقارنة مع بيانات الشركات المصنعة للضواغط.

(٢) من خلال مقارنة النتائج التصميمية العملية والنظرية لـ 21 اختبار ولثلاث موانع R-12, R134a, 600 على التوالي أظهرت نتائج تصميم طول المبخّر ضمن نفس المواصفات لمبخّر سعة (117 watt) والمصنّع من قبل إحدى الشركات المختصة، حيث ظهر أن معدل الانحراف لم يتجاوز (14%).

(٣) تم إجراء محاكاة التصميم لاثنتين من المبخّرات المصنعة من قبل الشركات المختصة ضمن السعات 117watt, 152watt وباستخدام موانع لتليج R-12, R-134a, R-600a) أظهرت النتائج ان معدل الانحراف لتصميم الطول للمبخّر المصنّع لم يتجاوز (7.8%)، أما معدل الانحراف الأقصى في سعة التليج فكانت بمقدار (4.7%)، حيث تشير النتائج إلى اقتراب قيم النتائج التصميمية لبرنامج المحاكاة مع الواقع العملي للمبخّرات المصنعة عند العمل بالظروف المثلى المعتمدة في تصميم هذه الأجزاء.

(٤) أظهرت النتائج دقة تحديد حجم حجرة المكبس من خلال نسبة السعة الحجمية لمائع التليج فقد تم اختبار هذه الطريقة مع كافة الموانع واثبتت تطابقا جيدا بالمقارنة مع بيانات الشركات المصنعة للضواغط.

(٥) أظهرت نتائج محاكاة تصميم المبخّر سعة 117watt ان معدل التدفق الكتلي يجب خفضه عند ابدال المائع R-12 بالموانع R-600a, R-134a, R-600، بالنسب التالية 18.8%، 65%، 59.4% عند نفس درجة حرارة التبخير القياسية.

(٦) أكدت النتائج النظرية ان جريان موانع التليج ضمن مبخّر بمسار واحد قد أظهرت تميز المائع R-600 بقيم معامل انتقال الحرارة مع انحدار كبير في الضغط مما يعني ضرورة تغيير عدد المسارات للمبخّر لتجنب العمل ضمن كثافة منخفضة عند منطقة الدخول إلى الضاغط .

(٧) تشير النتائج النظرية إلى ان تصميم المبخّر الصفيحي ضمن ساعات متباينة وموانع تليج مختلفة لا يعطي نفس عدد المسارات، حيث يتحدد طول المبخّر من خلال تحديد الأبعاد الخارجية لهيكل المبخّر، مساحة مقطع الجريان

(الضواغط) بالاعتماد على نوع مائع التليج العامل ودرجة حرارة التبخير بالإضافة إلى القدرة الحصانية إذ نجد أن مواصفات تلك الضواغط تكون ضمن الظروف القياسية لعمل التلاجة المنزلية مما ساعد في إيجاد السعة التصميمية للمبخّر من خلال جدول البيانات لتلك الضواغط، كما شملت تجارب التأكد من دقة عمل البرنامج استخدام موانع تليج لم تستخدم ضمن الجانب العملي .

أظهر الجدول (2) النتائج لكلا المبخّرين الممثلة بطول كل مبخّر ضمن ظروف العمل القياسية المعتمدة، فقد أوضحت النتائج ان أكبر انحراف لطول المبخّر سعة 117 watt كان بمقدار (11.9%)، أما سعة المبخّر فكان أكبر انحراف لها بمقدار (1.75%).

بإجراء التجارب على المنظومة من خلال المحاكاة للبرنامج وباستخدام مبخّر سعة 152 watt أظهرت نتائج المقارنة أن أكبر انحراف للطول الحقيقي للمبخّر والطول المحسوب قد بلغ (16.48%) نسبة إلى الطول الأصلي والبالغ 9.4m مع تميز النتائج بتطابق عدد المسارات للمبخّر والبالغة مسارين عدا نتائج المائع R-600 والذي ظهر بثلاث مسارات ضمن نتائج البرنامج التصميمي، كما أظهرت نتائج المقارنة للسعة المحسوبة تصميميا مع نتائج البيانات للشركة المصنعة بأن مدى الانحراف الأقصى (6.6%) من السعة الكلية، وبذلك نلاحظ ان النتائج التصميمية لبرنامج المحاكاة تكون أكثر واقعية من خلال التطابق مع النتائج العملية عند تطبيق الظروف التصميمية القياسية وذلك يعود إلى ان اغلب أجزاء المنظومة العملية قد صممت باعتماد تلك الظروف .

### الاستنتاجات

من خلال برنامج المحاكاة الحاسبي والنتائج العملية وبعتماد قيم المائع R-12 كمرجع تم استنتاج التالي:

(١) باعتماد R-12 كمرجع نجد ان R-134a تنخفض السعة الحجمية له بمقدار 3.9% بينما تنخفض للموانع R-600a, R-600 بمقدار 65.7%، 47.6% على التوالي، مما يستوجب زيادة حجم حجرة مكبس الضاغط المستخدم مع كل نوع من تلك الموانع بنفس نسبة الانخفاض بالسعة الحجمية للوصول إلى السعة الحجمية للمائع R-12، إذ أظهرت النتائج دقة تحديد حجم حجرة المكبس من خلال اختبار هذه الطريقة مع كافة الموانع واثبتت تطابقا

9. Holman, J. P., "Heat transfer " McGraw-Hill Book comp, 1986.
10. Oskarsson, S. P., et al, " Evaporator models for operation with dry, wet, and frosted finned surfaces part I: heat transfer and fluid flow theory ", ASHRAE Transactions, Vol. 96, Part 1, 1990,pp (373-380).
11. Shah, M. M., "A new correlation for heat transfer during boiling flow through pipes ", ASHRAE Transactions, Vol. 82, Part 2, 1976,pp (66-86).
12. Shah, M. M., " Chart correlation for saturated boiling heat transfer: equations and further study ", ASHRAE Transactions, Vol. 88, Part 1, 1982,pp (185-196).
13. Collier, J. G., "Convective boiling and condensation", McGraw-Hill, 1972.
14. Wallis, G. B., "One-dimension tow phase flow", McGraw-Hill, 1969.
15. Tichy, J. A., "An experimental investigation of heat transfer in forced-convection evaporation of oil - refrigerant mixtures ", ASHRAE Transactions, Vol. 92, Part 2A, 1986,pp (450-459).
16. Schlager, L. M., et al, " Evaporation and condensation of refrigerant-oil mixtures in a smooth tube and a micro-fin tube ", ASHRAE Transactions, Vol. 94, Part 1, 1988,PP (149-166).
17. Hayashi, Y., "Study of frost properties correlating with frost formation types", Journal of heat transfer, Vol.99, may 1977, PP (239-245).

ومحيطه، شكل المقطع بالإضافة إلى أبعاد الزعنفه.

(٨) أظهرت النتائج ان تحويل مجرى المبخّر العامل بمساحة مقطع دائري إلى مقطع بيضوي بنفس المساحة يؤدي إلى زيادة في المحيط بمقدار 18.7% كما يحصل انخفاض في طول المبخّر بمقدار 13% مقابل انخفاض بسعة التبريد بمقدار 0.9%.

#### References

1. Threlkeld, J. L., "Thermal environmental engineering", 2<sup>nd</sup> Edition, prentice-Hall, Inc, 1970.
2. Gupta, V., "Elements of heat and mass transfer", NEW AGE International publisher , 1995
3. ASHRAE Equipment Hand book, 1979.
4. لؤي عبد العزيز، " انتقال الحرارة بالحمل الحر من سطح مزلع "، رسالة ماجستير، قسم هندسة المكنائن والمعدات، الجامعة التكنولوجية، ١٩٨٩.
5. Jordan, R. C., "refrigeration and air conditioning ", 2<sup>nd</sup> Edition. New Delhi. 1973.
6. Tropical series compressors, Matsushita refrigeration company, compressor division, 1979.
7. Hussein, R. M., "A numerical simulation of a vapour compression refrigeration cycle using alternative refrigerants", Ph.D. Thesis, Baghdad university, mech. Eng. Depart., 1998
8. Sui, L., et al, "Performance evaluation of a reciprocating compressor through blanked suction test data ", ASHRAE Transactions, Vol. 87, Part 1, 1981.

جدول (1) مقارنة الأداء النظري لموانع التثليج ضمن الظروف القياسية المتعددة

درجة الحرارة	الأداء الحراري	CFC-12	HFC-134a	HC-600	HC-600a
درجة حرارة التثليج	ضغط التثليج (bara)	13.71	14.69	5.56	7.68
درجة حرارة التبخير $-23.3^{\circ}C$ مع تحميص بخار مانع التثليج داخل المبخر بمقدار $5^{\circ}C$	ضغط التبخير (bara)	1.32	1.122	0.365	0.611
	نسبة الانحفاظ	10.38	13.09	15.2	12.56
	الأس الايزونتروبي $\gamma_n$	1.129	1.1068	1.0905	1.0917
	الأس البولتروبي $n$	1.064	1.0534	1.0452	1.0458
	كثافة البخار الداخل إلى الضاغط ( $kg/m^3$ )	6.44	4.68	0.843	1.41
	التأثير التبريدي ( $kJ/kg$ )	140.6	186.04	367.4	336.3
	السعة الحجمية ( $kJ/m^3$ )	905.4	870	309.7	474.1

## NOMENCLATURE

$m^2$	مساحة	= A
$m^3$	حجم الخلوص	= C
kJ/kg.K	حرارة نوعية بثبوت الضغط	= Cp
kJ/kg.K	حرارة نوعية بثبوت الحجم	= Cv
—	نسبة الخلوص الحجمي للضاغط	= C <sub>C</sub>
—	معامل تصحيح تسرب مانع التثليج خلال المكبس والصمامات	= C <sub>L</sub>
—	عدد مسارات المبخر	= C <sub>n</sub>
m	قطر الأنبوب	= D
—	معامل تصحيح تأثير الزيت على معامل انتقال الحرارة	= EF
Hz	تردد المصدر الكهربائي	= f
$m/s^2$	الجاذبية الأرضية	= g
$kg/m^2.s$	فيض الكتلة	= G
$W/m^2.K$	معامل انتقال الحرارة	= h
kJ/kg	المحتوى الحراري	= H
W/m.K	الموصلية الحرارية	= K
m	طول شريحة المبخر	= L
kg/s	معدل التدفق الكتلي	= $m^{\circ}$
—	الاس البولتروبي	= n
Cycle/min	السرعة الترددية	= ns
$N/m^2$	الضغط	= P

	قيمة التغير الكلي للضغط	$P \Delta$
m	محيط الجريان	= PA
$m^3$	الإزاحة الحجمية للضاغط	= PD
—	معامل تصحيح تأثير الزيت على هبوط الضغط	= Pf
—	عدد أقطاب المحرك الكهربائي للضاغط	= PN
$W/m^2$	فيض الحرارة	= q
Watt	معدل الحرارة المنقولة (سعة التثليج)	= Q
—	نسبة الانضغاط	= Rc
Cycle/mi	السرعة الدورانية	=RPM
—	نسبة الانزلاق	= S
K, °C, °F	درجة الحرارة	= T
m/s	سرعة مانع التثليج	= u
$W/m^2.K$	معامل انتقال الحرارة الاجمالي	= U
$m^3/kg$	الحجم النوعي	$V =$
—	كسر الجفاف	= x
m	سمك الزعنفه	= 2y

## (GREEK STYMPOLS)

## (SUBSCRIPTS)

Cycle/s	السرعة الدورانية	= $\omega$	التعجيل	= $\Lambda$
1/k	معامل التمدد الحجمي	= $\beta$	هواء	= a ,air
—	فرق التغير للخطوة	= $\delta$	الغليان المشبع	= bs
Kg /m.s	اللزوجة الدينامية	$\mu =$	القيمة الحرجة	= c
Kg /m.s	معدل اللزوجة الدينامية	$\bar{\mu} =$	تكثيف	= C ,cond
—	النسبة الثابتة	= $\pi$	غليان الحمل	= cb
—	معامل انتقال الحرارة ثنائية الطور	= $\psi$	نسبة الى الحمل الحر من جهة الهواء	= co
—	الكفاءة	= $\eta$	مكافئ	= eq.
Kg /m <sup>3</sup>	الكثافة	= $\rho$	الاحتكاك	= f
N/m <sup>2</sup>	إجهاد الفص	= $\tau$	منطقة التبخير	= fg
m <sup>3</sup> /kg	الحجم النوعي	$\mathcal{G} =$	زخفة	= fin
—	الفعالية	= $\varepsilon$	طور الغاز	= g
—	النسبة المئوية للزيت في مانع	= $\omega_o$	الجذب الارضي	= G

## (DIMENSIONLESS GROUP)

$\frac{1}{X} - 1$	$\left(\frac{\rho_s}{\rho_l}\right)^{0.5}$	= (عدد الحمل)	Co	القراءة الحالية نسبة الى رقم العقدة	= I
$\frac{q}{G H_{fs}}$		= (عدد الغليان)	Bo	القراءة اللاحقة	= i+I
$\frac{G^2}{\rho_l^2 g D}$		= (عدد فراود)	Fr	ايزوتروبي	= is
$\frac{\mu C_p}{K}$		= (عدد برانتل)	Pr	طور السائل	= l
$\frac{\rho v D}{\mu}$		= (عدد رينولدز)	Re	قيمة متوسطة	= m
$\frac{Bo. Re Pr}{Nu}$		= (عدد جاكوب)	Ja	الغليان النووي	= nb
$\frac{h_{CG} L}{K}$		= (عدد نسلت)	Nu	مساحة سطحية خارجية	= AO
$\frac{g \beta (T_s - T_\infty) L^3}{K_a}$		= (عدد كراشوف)	Gr	القطر الداخلي للانبوب	= pi
$\frac{Gr * Pr}{Ra}$		= (عدد رالي)	Ra	معدل القطر السداخلي والخارجي	= pm
				القطر الخارجي للانبوب	= po
				نسبة القيمة الى القيمة الحرجة	= r
				مانع التلجيج	= ref.
				سطح	= s
				مقطع	= sec.
				منطقة التخصيص	= sup.
				كلي	= T
				ثنائي الطور	= TP
				انتقالي	= trn.
				حجم	= v

جدول (2) مقارنة نتائج البرنامج المحاسبي المتضمن تصميم مجموعة من البحرات المستخدمة في التطبيقات العملية من خلال اعتماد الظروف القياسية لـ [ASHRAE]

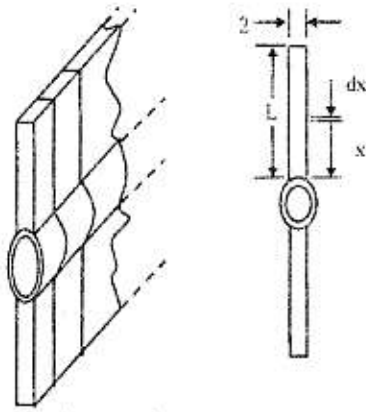
Ref. Type	Circuit Length measure (m)	Circuit Length calculate (m)	Error %	Ref. Capacity table (watt)	Ref. Capacity calculate (watt)	Error %	Compressor swept volume ( $cm^3$ )	Mass flow rate ( $kg/s$ )	Pressure drop (bara)	Ref. Effect ( $kJ/kg$ )	Section Line density ( $kg/m^3$ )	Volumetric capacity ( $kg/m^3$ )	Evaporator type
CFC-12	9.6	10.75	11.9	116	117.7	1.465	5.1*	$1.06 \cdot 10^{-3}$	0.0551	140.6	6.44	905.4	117 watt refrigeration capacity
HFC-134a	9.6	10.92	13.75	120	123.3	2.75	5.99**	$8.6 \cdot 10^{-4}$	0.0496	186.04	4.68	870	
HC-600	9.6	9.48	1.25	/	107.1	/	15.3***	$3.7 \cdot 10^{-4}$	0.0241	367.4	0.843	309.7	
HC-600a	9.6	9.83	2.3	112	111.66	0.3	9.97**	$4.3 \cdot 10^{-4}$	0.03	336.3	1.41	474.1	
Standard error deviation													152 watt refrigeration capacity
Mean error													
CFC-12	9.4	10.95	16.48	162.7	151.9	6.6	6.58*	$1.37 \cdot 10^{-3}$	0.0475	140.6	6.44	905.4	
HFC-134a	9.4	10.66	13.4	148	152.1	2.7	7.39**	$1.06 \cdot 10^{-3}$	0.0413	186.01	4.68	870	
HC-600	9.4	9.35	0.53	/	133.11	/	19***	$4.6 \cdot 10^{-4}$	0.0186	367.4	0.843	309.7	
HC-600a	9.4	9.48	0.83	142	135	4.9	12.06**	$5.2 \cdot 10^{-4}$	0.0249	336.3	1.41	474.1	
Standard error deviation													152 watt refrigeration capacity
Mean error													

\* Reference [58]

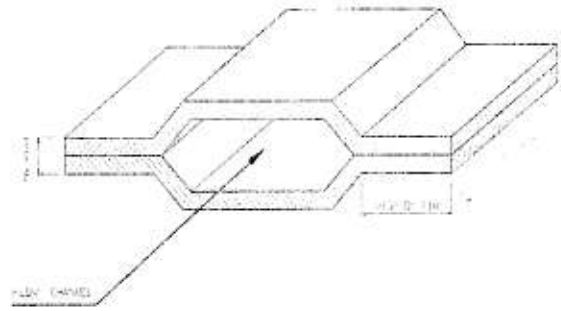
\*\* Reference [61]

\*\*\* Calculated

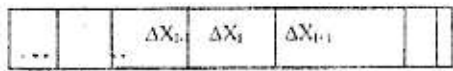




شكل (1) الشريحة المستخدمة في بناء المبخر مقطع

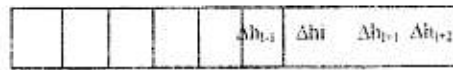


شكل (2) الشريحة منحرفى شبه



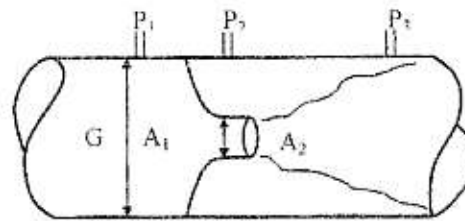
variable steps

شكل (3) نموذج العقد  
المستخدم

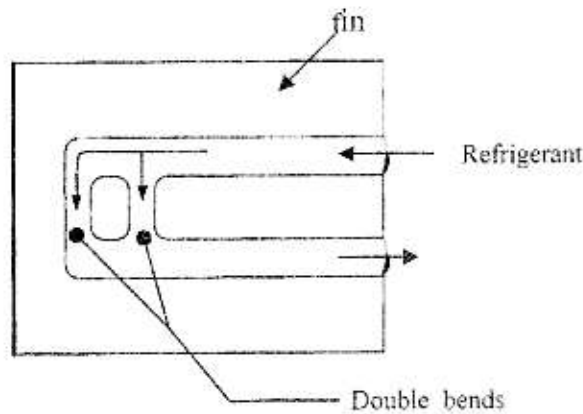


constant difference

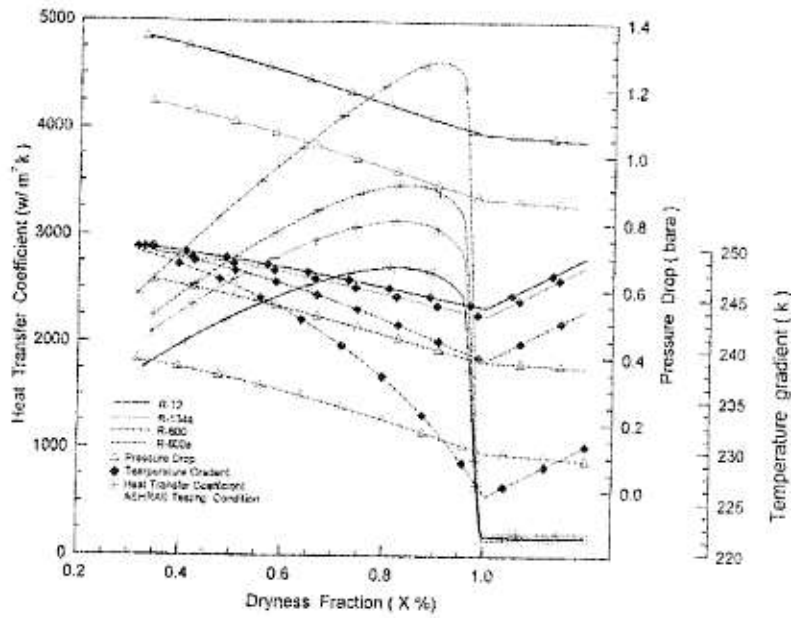
في بناء المبخر والذي يعتمد  
على



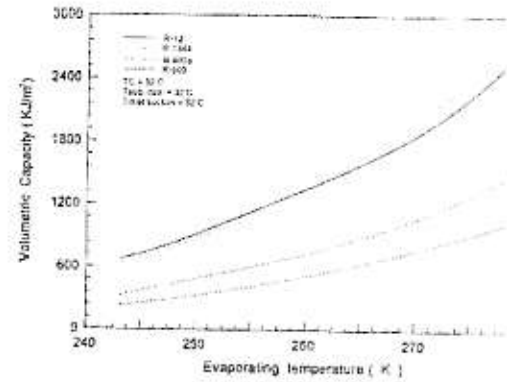
شكل (4) جريان المائع ضمن منافذ التوسع والتضيق



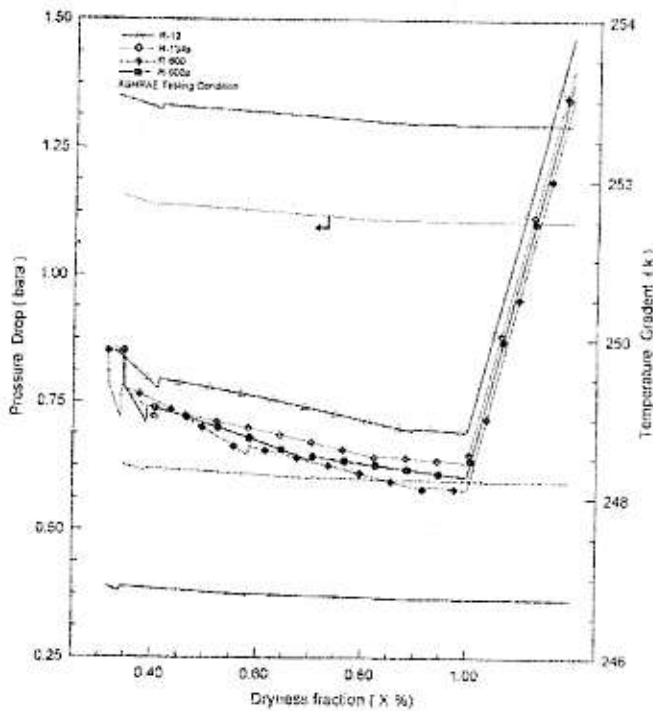
شكل (5) استخدام الحنية المزدوجة  
في خفض ألتحدار هبوط الضغط



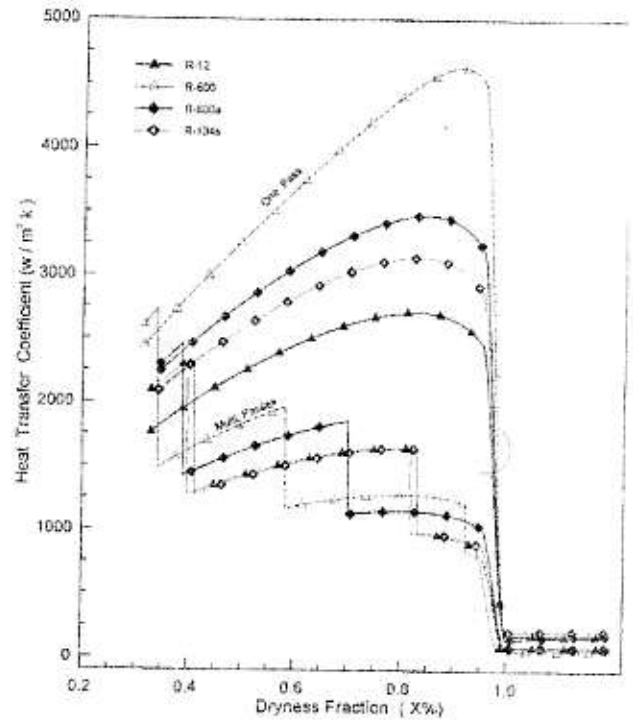
شكل (7) مقارنة كل من معامل انتقال الحرارة، هبوط الضغط والتخار درجة الحرارة لمجموعة من موائع التثليج العاملة ضمن مسار ذي مسار مقرد



شكل (8) يوضح السعة الحجمية لمجموعة من موائع التثليج عند درجات حرارة تبخير مختلفة

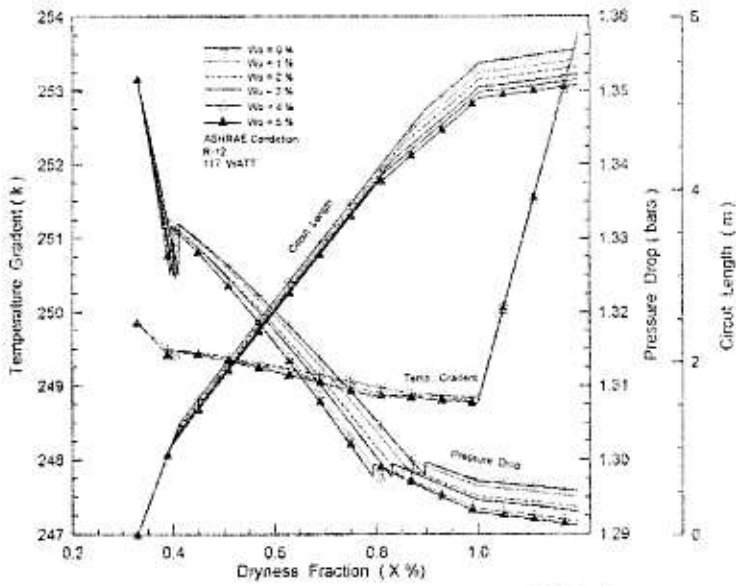


شكل (9) يوضح قيم كل من هبوط الضغط والتخار درجة الحرارة لمجموعة من موائع التثليج عند جريانها ضمن مسار ذي مسارات متعددة

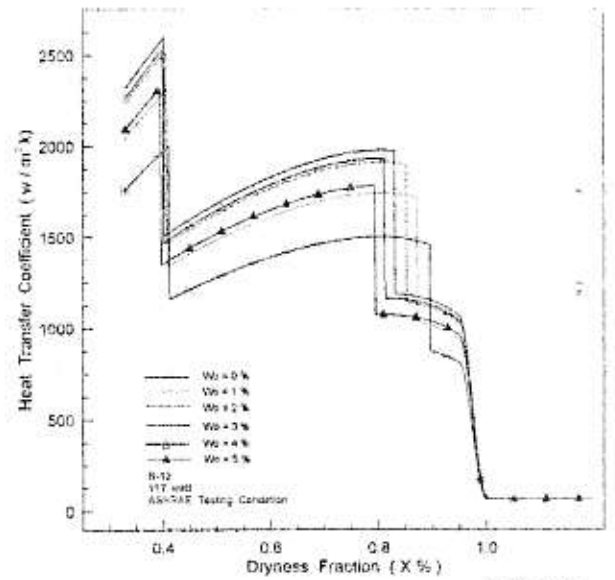


شكل (10) مقارنة بين معامل انتقال الحرارة لمجموعة من موائع التثليج عند العمل ضمن مسار مسار مقرد، وآخر متعدد المسارات

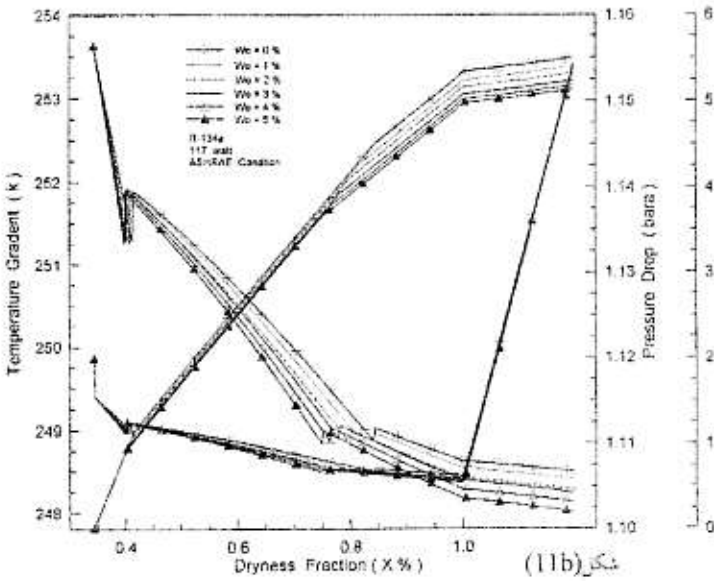
محاكاة تصميم سطوحى مدرج يعمل بموانع التلج  
الهيئة لـ (R-12)



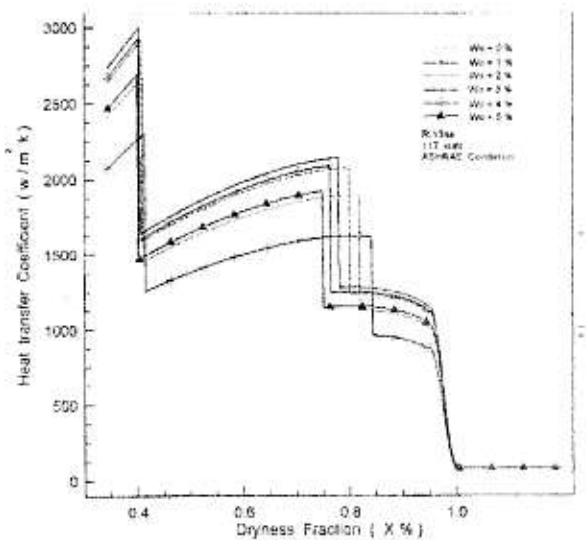
شكل (10b)



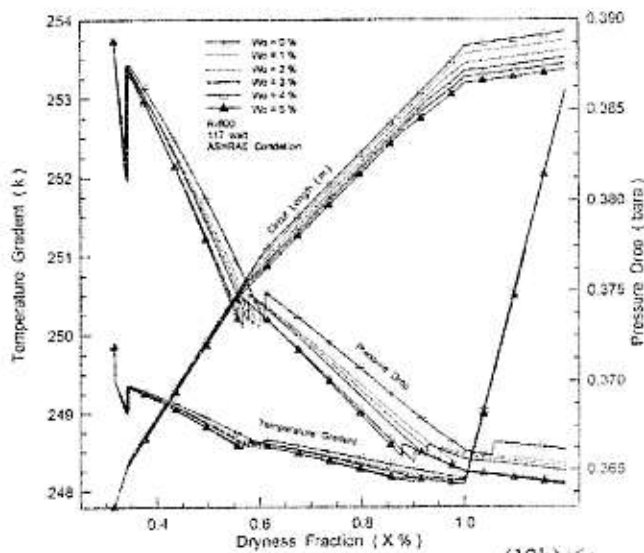
شكل (10a)



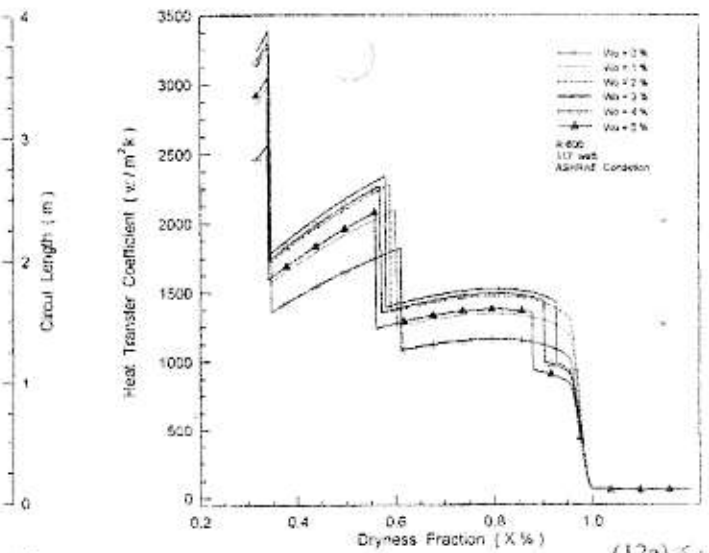
شكل (11b)



شكل (11a)

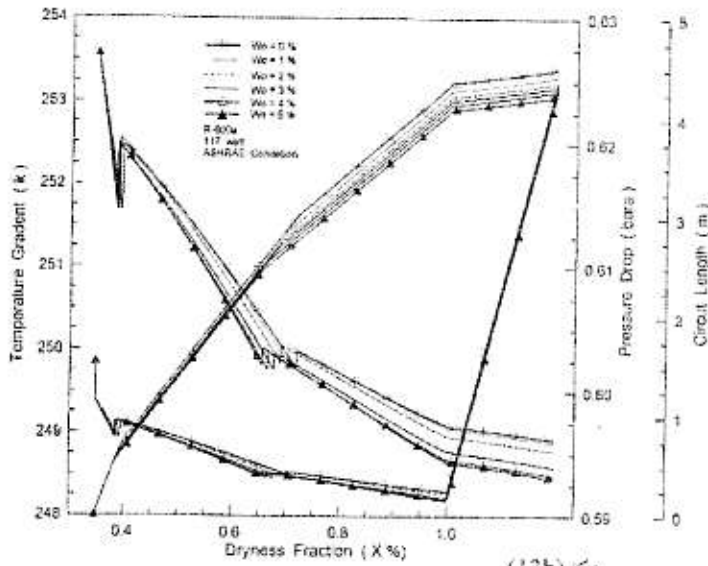


شكل (12b)

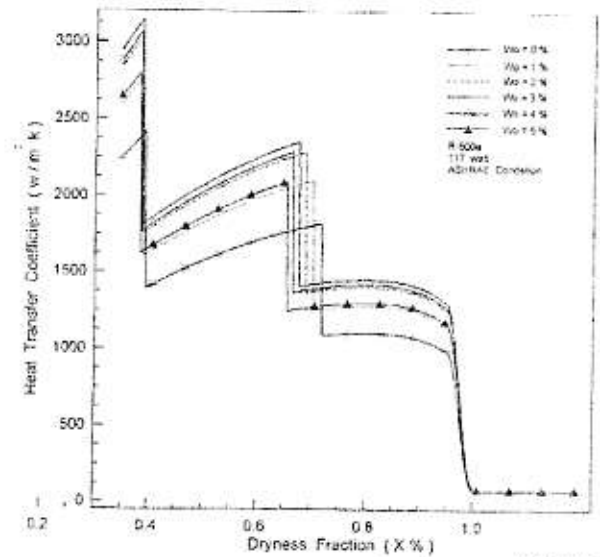


شكل (12a)

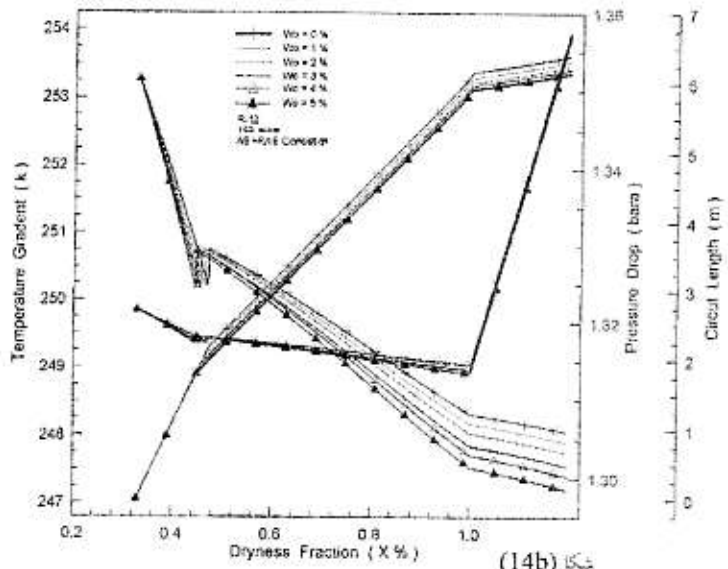
محاكاة تصميم صفحي مدرفل يعمل بموائع التبريد  
البيدلة لـ (R-12)



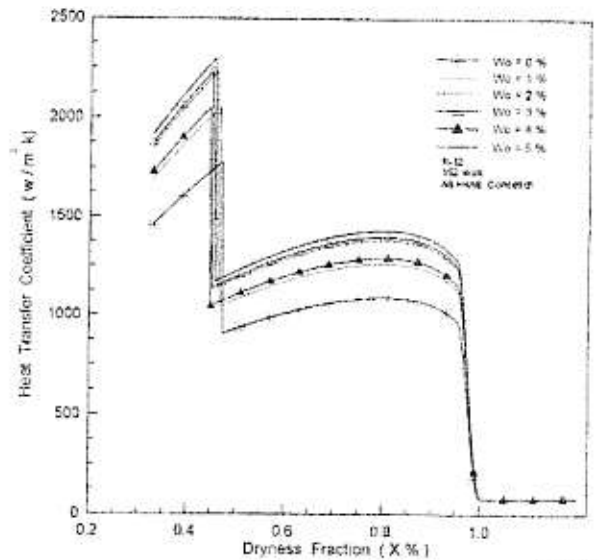
شكل (13b)



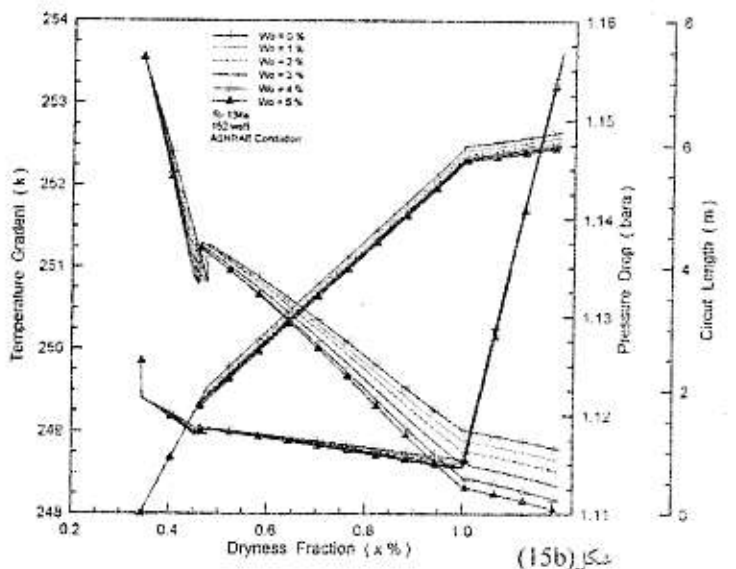
شكل (13a)



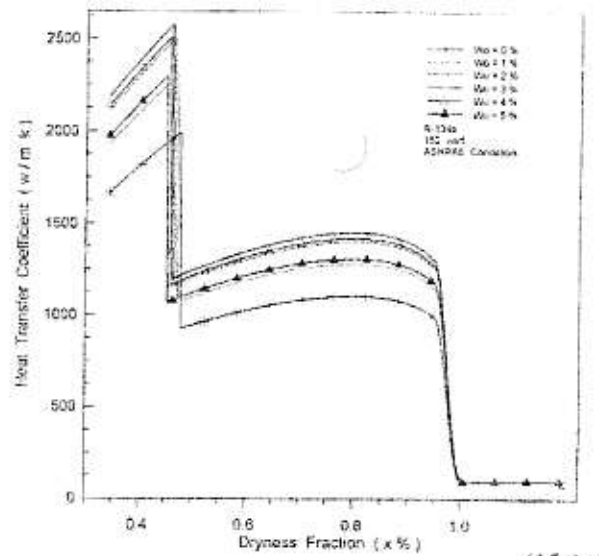
شكل (14b)



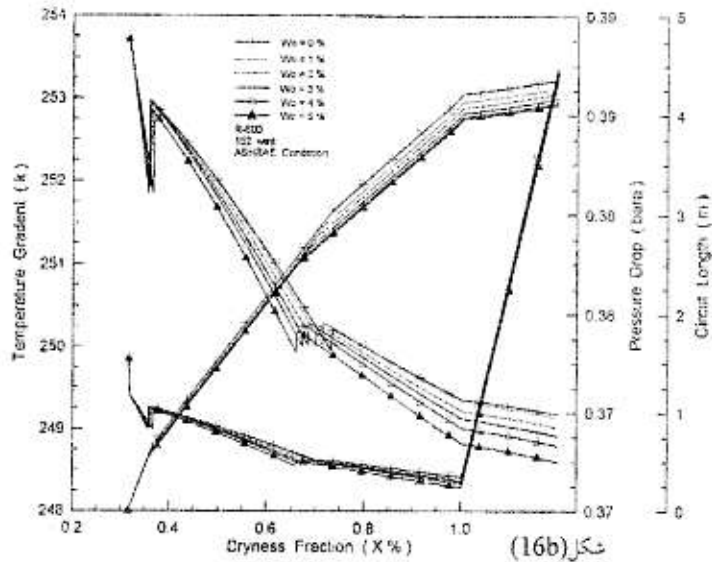
شكل (14a)



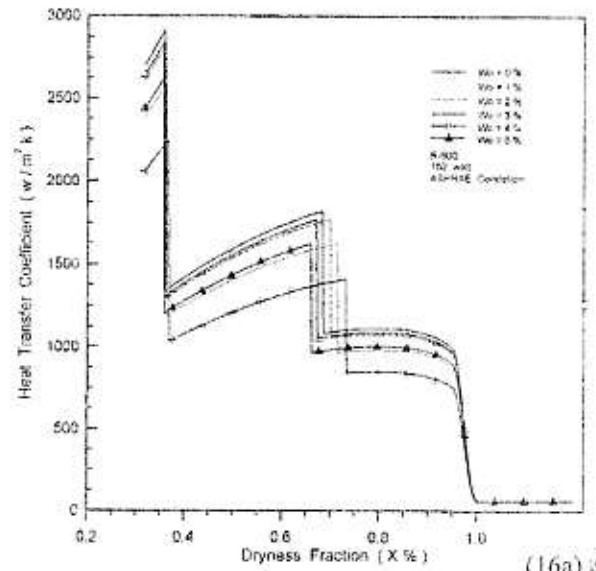
شكل (15b)



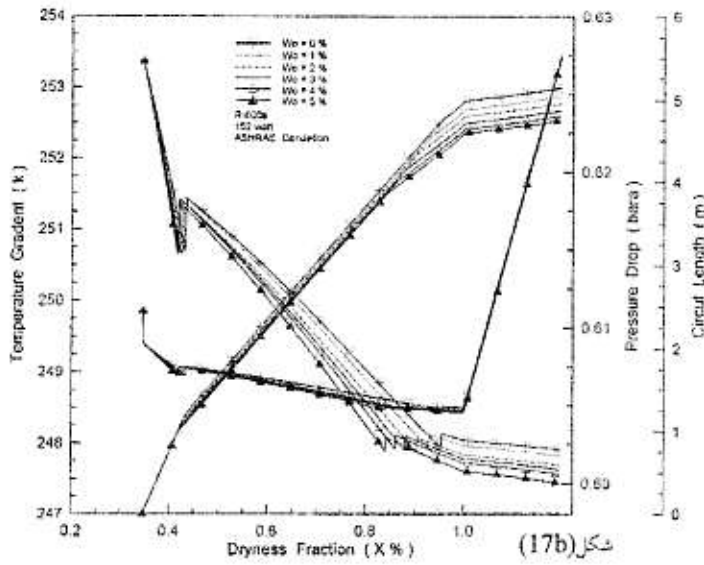
شكل (15a)



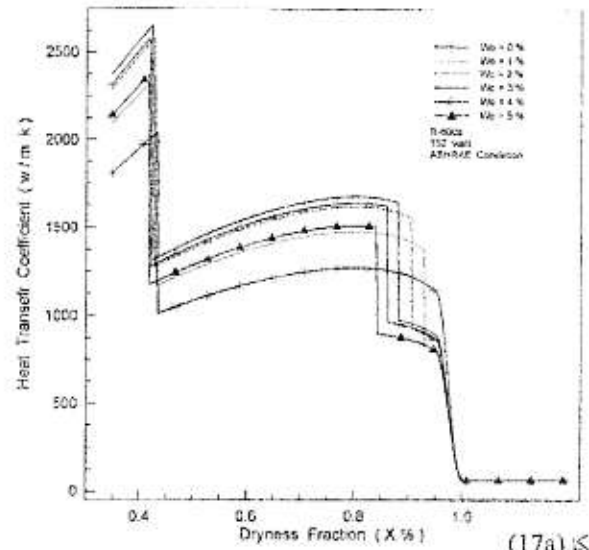
شكل (16b)



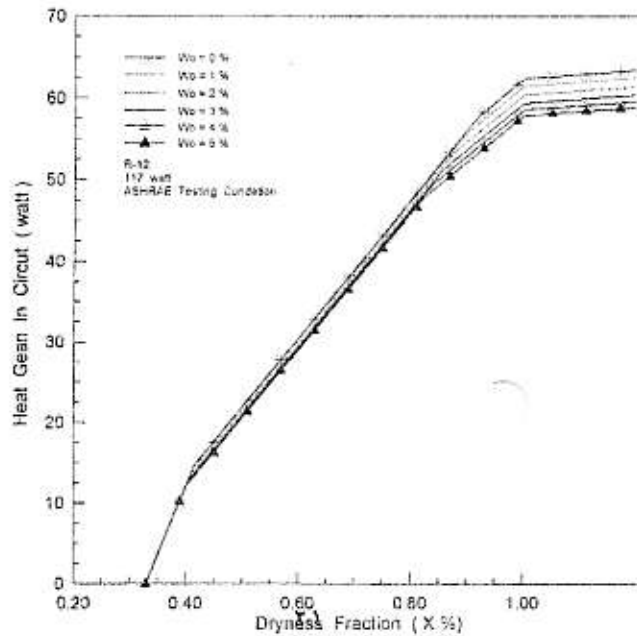
شكل (16a)



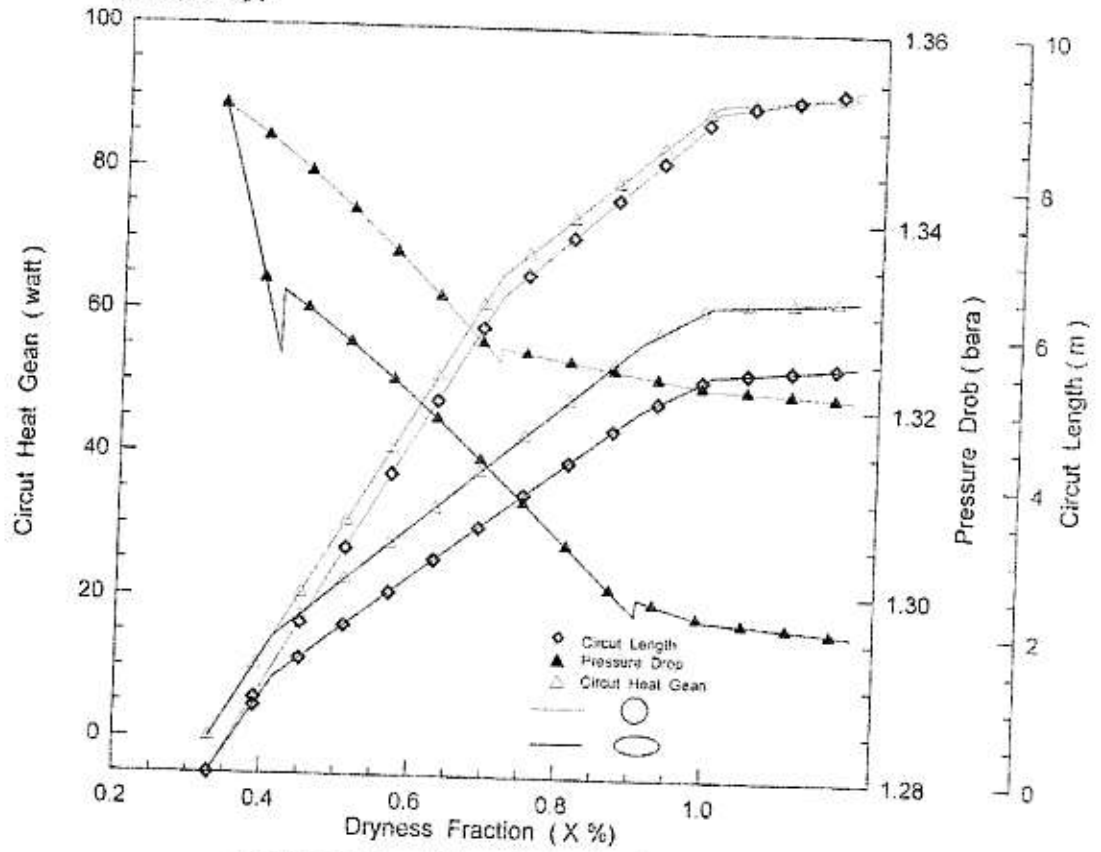
شكل (17b)



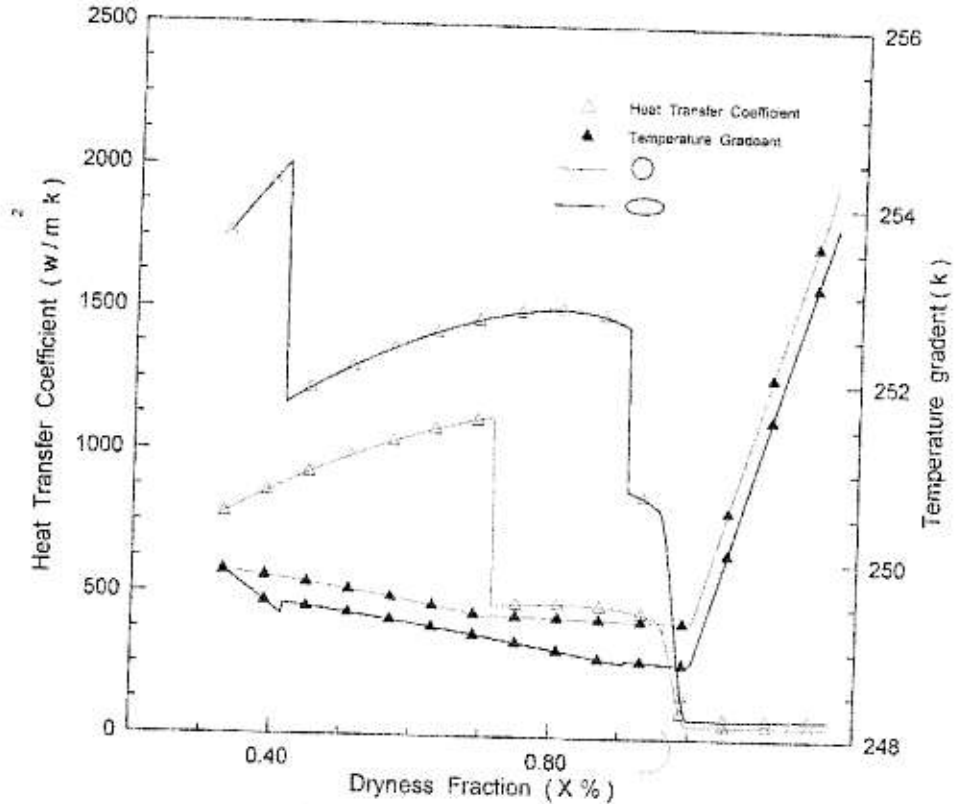
شكل (17a)



شكل (18) يوضح تأثير نسبة الزيت على كمية الحرارة المنصبة من قبل المدرفل



شكل (19) يوضح تأثير شكل مقطع الجريان على كل من كمية الحرارة المنقصة، هبوط الضغط وطول المسار للمبخر



شكل (20) يوضح تأثير شكل مقطع الجريان على كل من معامل انتقال الحرارة وانحدار درجة الحرارة لمنع التبريد خلال جريانها ضمن مسارات المبخر